

странствиях в мозге. Это приводит к разрушению дендритов и разрушению синаптических связей между ними [12].

УДК 612.826:612.822

В. А. Черкес, Г. М. Груздев, А. Н. Литвинова,
Е. П. Луханина, Р. Р. Великая

ВЫЗВАННАЯ НЕЙРОННАЯ АКТИВНОСТЬ НЕОСТРИАТУМА КОШКИ ПОСЛЕ РАЗРУШЕНИЯ АФФЕРЕНТНЫХ ПУТЕЙ ПРОВЕДЕНИЯ ЗВУКОВОГО СИГНАЛА

Непроекционные или полимодальные неспецифические структуры переднего мозга млекопитающих, к которым относятся, в частности, стриатум, рассматриваются как один из уровней переработки поступающей извне информации. Афферентный поток импульсов, идущий от экстерорецепторов, прежде чем активировать стриатум, переключается через ряд анатомических звеньев — средний мозг, таламус, ассоциативные и проекционные зоны коры. Подавляющее большинство морфологических [5, 8, 10, 13, 15] и физиологических исследований [6, 11, 14] посвящены изучению прямых, моносинаптических путей от указанных структур к стриантным ядрам. Однако при оценке бесконечно сложных операций, которые производят головной мозг, необходимо учитывать не только влияния, передающиеся по прямым связям, но и полисинаптическую связь с особенностями кодирования на разных иерархически организованных уровнях.

Мы исследовали реакции нейронов хвостатого ядра на звуковые сигналы до и после выключения разных уровней слуховой проекционной системы и некоторых неспецифических структур промежуточного мозга. Подобных исследований в литературе нет.

Методика исследований

Хронические опыты проведены на десяти бодрствующих взрослых кошках-самцах с фиксированной в стереотаксическом приборе головой. Во время предварительной операции животным под нембуталовым наркозом (40 мг/кг внутрибрюшинно) производили вживление в кости черепа двух полых втулок, расположенных над трепанационными отверстиями в местах проекции хвостатых ядер. Каждую кошку использовали в опытах от одного до двух месяцев.

Для внеректомической регистрации нейронной активности применяли стеклянные микроэлектроды сопротивлением 5—20 Мом, заполненные 2М раствором цитрата калия. Импульсную активность после усиления и преобразования в стандартные сигналы записывали на магнитную ленту. Статистический анализ активности осуществляли с помощью ЭВМ. Параллельно производили фоторегистрацию активности отдельных нейронов в нативном виде. Звуковым раздражителем служили щелчки частотой 0,3—0,8 Гц и силой 60 дБ над порогом слышимости человека. Для регистрации вызванных потенциалов в слуховую область коры вживляли металлические электроды в среднюю эктосильвиеву извилину в области A1.

Глубинные структуры головного мозга разрушали электролитически. Постоянный ток силой 5 мА пропускали через платиновый электрод, толщиной 0,3 мм, изолированный по всей длине, кроме кончика в 1—1,5 мм. Для максимального разрушения коленчатого тела или бугорков четверохолмия электрод вводили последовательно в 5—7 участков указанных структур с экспозицией 30 с в каждом участке по ориентирам атласа Джаспера и Аймон-Марсана.

Результаты исследований

Исследовано 393 нейрона головки и тела хвостатого ядра, из которых 140 у интактных животных и 253 после операции разрушения мозговых структур.

Ответы нейронов хвостатого ядра после выключения медиального коленчатого тела и неспецифических структур. Опыты проведены на четырех кошках. Зарегистрированы ответы 218 нейронов хвостатого яд-

ра на предъявления в боруния. По ПСТ г процента нейронов, имеющих числа ис-

Анализ ПСТ показывает, что очаг охватыва-

Рис. 1. Изменение возбудительных хвостатого ядра при ского повреждения структур: супраталамическая и ретикулярная фрагменты центрального пути

А — схемы фронтальных (слева и справа) ко- лизации разрушения: слева — уровень, в котором количество фрагментов нейронов хвостатого ядра до (и

мелко- и кругло- структуры, не- тельных реакций



Рис. 2. Вызванная

А — вызванные потенциалы полушария

тех случаях, тела, некроти- лении с вовлек- кулевидного яд- прохождения ные изменения процент нейроп- активации

Вызванные в качестве к 7—8 сут на- дни могли вс- Ответы на бугорков четве-

ра на предъявление звуковых щелчков: 90 нейронов до операции разрушения в области медиальных коленчатых тел и 128 после разрушения. По ПСТ гистограммам у одного и того же животного сравнивали процент нейронов, реагирующих фазной активацией, относительно общего числа исследованных нейронов до и после операции.

Анализ ПСТ гистограмм и фронтальных срезов мозга с очагами коагуляции показал следующее. В тех случаях, когда некротический очаг охватывал значительную часть медиального коленчатого тела,

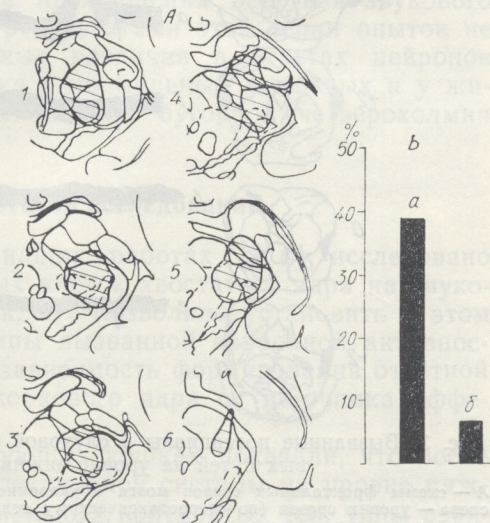
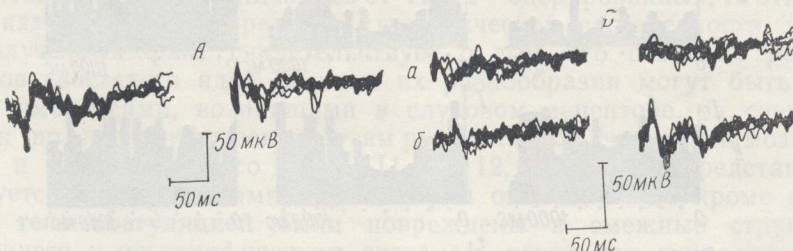


Рис. 1. Изменение количества фазных возбудительных реакций нейронов хвостатого ядра после электролитического повреждения МКТ и смежных структур: супрагеникулятного ядра и ретикулярной формации на уровне центрального пути покрышки среднего мозга.

А — схемы фронтальных срезов мозга двух (слева и справа) кошек с указанием локализации разрушения (заштриховано); цифры слева — уровни срезов. Б — относительное количество фазных возбудительных реакций нейронов хвостатого ядра на звуковые щелчки до (а) и после (б) операции разрушения.

мелко- и крупноклеточную его часть, но не затрагивал прилежащие структуры, не наблюдалось существенных изменений фазных возбудительных реакций нейронов хвостатого ядра. Изменения отмечались в



тех случаях, когда, наряду с повреждением медиального коленчатого тела, некротический очаг распространялся в дорсо-каудальном направлении с вовлечением смежных неспецифических структур — супрагеникулятного ядра и ретикулярной формации среднего мозга в области прохождения центрального тегментального пути (рис. 1, А). Отмеченные изменения состояли в том, что в хвостатом ядре резко уменьшался процент нейронов, реагирующих на звуковой раздражитель фазической активации (рис. 1, Б).

Вызванные потенциалы (ВП) регистрировались в слуховой коре в качестве контроля выключения коленчатого тела (рис. 2). В первые 7—8 сут наблюдалось резкое уменьшение ВП, которые в последующие дни могли восстанавливаться частично или полностью.

Ответы нейронов хвостатого ядра после выключения нижних бугорков четверохолмия. Электролитическое разрушение слуховых путей на

уровне нижних бугорков четверохолмия обеспечивало более полный перерыв передачи импульсации к исследуемому ядру по сравнению с предыдущей серией опытов. Морфологические исследования мозга показали, что латеральная петля и ножки нижних бугорков четверохолмия были разрушены полностью с обеих сторон; сохраненными оказались лишь волокна, проходящие вблизи ядра.

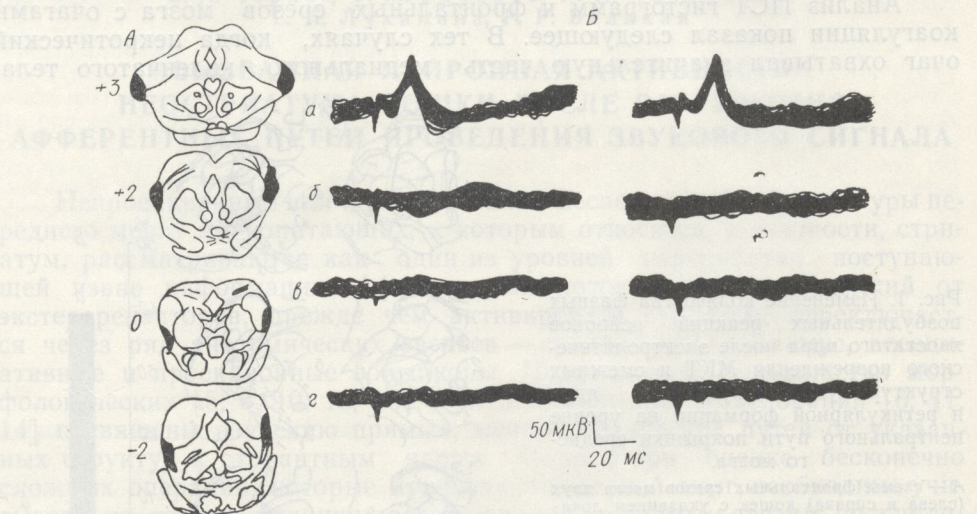


Рис. 3. Вызванные потенциалы в слуховой коре кошки до и после разрушения слуховых путей на уровне нижних бугорков четверохолмия.

А — схемы фронтальных срезов мозга с указанием локализации разрушения (зачернено); цифры слева — уровни срезов (по стереотаксическому атласу). Б — вызванные потенциалы в зоне AI слуховой коры левого (слева) и правого (справа) полушария: а — до разрушения, б — через 2 ч, в — через 11 сут, г — через 20 сут после разрушения.

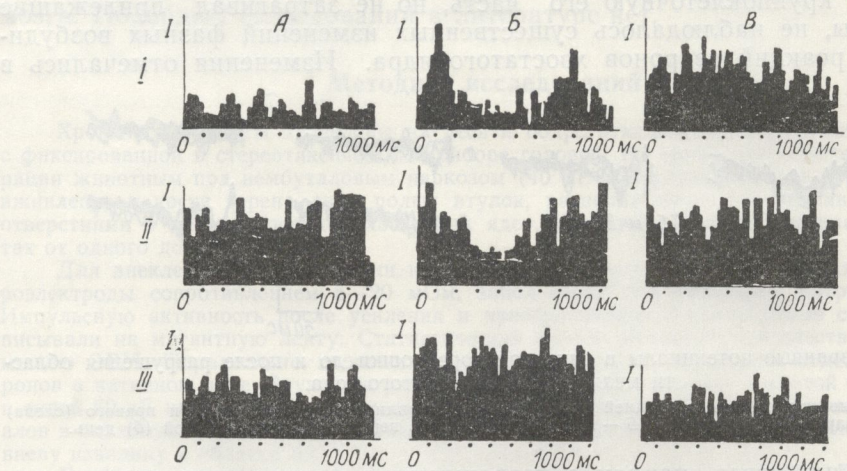


Рис. 4. Постстимулярные гистограммы активности трех нейронов (I—III) хвостатого ядра, зарегистрированной после двустороннего электролитического разрушения на уровне нижних бугорков четверохолмия.

А — фоновая активность; Б — реакции на звуковые щелчки частотой 0,5 Гц; В — активность, зарегистрированная после прекращения звуковой стимуляции.

лились только медиальные (неспецифические) структуры на уровне среднего мозга (рис. 3, А). После такой операции БП в слуховой коре не удавалось зарегистрировать ни сразу, ни в последующем на протяжении всего периода наблюдений в течение месяца (рис. 3, Б).

У этих кошек с выключенными проекционными слуховыми путями была зарегистрирована реакция 125 нейронов хвостатого ядра на предъявление щелчков. Анализ ПСТ-гистограмм выявил типы активности нейронов, которые существенно не отличались от таковых же,

полученных на других уровнях мозга. Некоторые из них имели фазные колебания, характерные для нейронов, расположенных в различных областях мозга. Всего было исследовано 125 нейронов, из которых 100% имели фазные колебания, характерные для нейронов, расположенных в различных областях мозга. Всего было исследовано 125 нейронов, из которых 100% имели фазные колебания, характерные для нейронов, расположенных в различных областях мозга.

В данной работе было исследовано большое количество нейронов, реагирующих на звуковые щелчки, зарегистрированные на уровне нижних бугорков четверохолмия. Представляемые результаты показывают, что эти нейроны реагируют на звуковые щелчки, зарегистрированные на уровне нижних бугорков четверохолмия.

Результаты экспериментов показывают, что разрушение хвостатого ядра приводит к значительным изменениям в активности нейронов, реагирующих на звуковые щелчки. При этом изменения в активности нейронов, реагирующих на звуковые щелчки, являются следствием разрушения хвостатого ядра.

Полученные результаты показывают, что разрушение хвостатого ядра приводит к значительным изменениям в активности нейронов, реагирующих на звуковые щелчки. При этом изменения в активности нейронов, реагирующих на звуковые щелчки, являются следствием разрушения хвостатого ядра.

Результаты экспериментов показывают, что разрушение хвостатого ядра приводит к значительным изменениям в активности нейронов, реагирующих на звуковые щелчки. При этом изменения в активности нейронов, реагирующих на звуковые щелчки, являются следствием разрушения хвостатого ядра.

полному
нению с
взга по-
верхол-
м оказа-

полученных на 90 нейронах у интактных кошек. В обоих случаях возникли фазные и тонические реакции. Приблизительно у половины клеток фазные ответы были возбудительного характера с одной или несколькими модами и тормозной паузой между ними или без нее. В обоих случаях латентный период у разных нейронов варьировал в пределах 15—200 мс (рис. 4, Б). Одновременно или независимо от появления фазных реакций обнаружены тонические изменения активности, которые выражались в понижении или повышении фона с последующим восстановлением после прекращения действия звукового сигнала (рис. 4). Таким образом, результатами этой серии опытов не выявлены статистически достоверные различия в ответах нейронов хвостатого ядра на звуковые щелчки у нормальных животных и у животных с выключенной на уровне нижних бугорков четверохолмия проекционной слуховой системой.

Обсуждение результатов исследований

В данной и в предыдущих наших работах [3, 4] исследовано большое количество ответов нервных клеток хвостатого ядра на звуковые щелчки у бодрствующих кошек, что позволило установить в этом подкорковом ядре определенные типы вызванной нейронной активности. Представляло интерес выявить зависимость формирования ответной реакции нейронов изучаемого подкоркового ядра от источника афферентной импульсации.

Результаты опытов на бодрствующих кошках показали, что после разрушения «центров» слуховой проекционной системы на уровне нижних бугорков четверохолмия и медиальных коленчатых тел, типы реакций нейронов и их соотношения в хвостатых ядрах оставались в общих чертах такими же, как у нормальных животных (на предъявление звуковых щелчков с частотой 0,3—0,8 Гц). Даже если в некоторых случаях ПСТ гистограммы реакции нейронов исследуемого подкоркового ядра интактных кошек отличались от ПСТГ оперированных, то эти различия находились вне пределов статистической достоверности.

Полученный факт свидетельствует о том, что ответные реакции нейронов хвостатого ядра во всем их разнообразии могут быть обеспечены импульсами, возникшими в слуховом рецепторе, за счет проведения по неспецифическим путям ретикулярной формацией мозгового ствола и промежуточного мозга [1, 8, 9, 12, 13]. Такое представление согласуется с результатами другой серии опытов, когда кроме коленчатого тела коагуляцией были повреждены и смежные структуры, относящиеся к неспецифическим системам, такие как супрагеникулярное ядро и ретикулярная формация в области центрального тегментального пути; отметим, что от указанных структур прослежены прямые волокна к хвостатому ядру [2, 7, 8]. Оказалось, что после такой операции резко уменьшилось количество возбудительных ответов нейронов хвостатого ядра и на звуковые щелчки. Следует подчеркнуть, однако, что сделанный вывод о преимущественном значении неспецифических восходящих систем в проведении импульсации к хвостатому ядру касается здесь раздражителя (щелчки), не несущего в нашем эксперименте определенного сигнального значения.

Результаты опытов могут представлять интерес и с другой точки зрения. Они указывают на значение объема афферентной импульсации в формировании типа ответных реакций нейронов хвостатого ядра: в опытах с комплексным разрушением (рис. 1), когда поток афферентной импульсации, нужно полагать, уменьшен, число фазных реакций резко падает. Такое предположение подтверждается результатами предшествующих исследований. Было показано [4], что при ослаблении звукового сигнала снижается количество и выраженность возбудительных ответов нейронов этого ядра у бодрствующих кошек.

V. A. Cherkes, G. M. Gruzdev, A. N. Litvinova,
E. P. Lukhanina, R. R. Velikaya

EVOKED NEURONAL ACTIVITY OF CAT NEOSTRIATUM AFTER
DESTRUCTING AFFERENT PATHWAYS OF ACOUSTIC STIMULI CONDUCTANCE

Summary

Types of neuronal activity of nucleus caudatus (NC) to acoustic stimuli (clicks) were detected in unanesthetized cats. After destruction of the auditory systems at levels of the calliculi inferior or medial geniculate body the types of neuronal activity in NC display no essential changes. After a combined lesion (a part of the medial geniculate body, suprageniculate nucleus, reticular formation) the number of neurons of the «phase excitation» type in NC was considerably lower. A problem concerning the pathways of afferent signals conductance to NC is under discussion.

Department of Subcortical Structure Physiology;
A. A. Bogomoletz Institute of Physiology,
Academy of Sciences, Ukrainian SSR, Kiev

УДК 612.826.1:612.014.4

ХАРАКТЕРИСТИКА

Характерно мозга при барб и бодрствовании ности [1, 3, 5, 11] казательства ве [2, 5]. Многие специфических же время резу позволили при ких ядрах факу

При выясн хронизации бо бенностей и вр при различных однако, пока е настоящего ис тивности, возни вом наркозе.

Исследования менте. Подготовит бутала или тиопен новокaina. В остр скальпирование и цистерны. После т на искусственное скальпирование и

Электроды в ным группам: венное заднее (*LP*), латеральное (*CL*). а также физиоло под таламическими ре на одиночные ществляли монопол. В остром эксперим трическую активи первой слуховой з ливали из нихром ческом эксперимен с электродами за в таламусе и кор нищем эксперим внутривенно.

После прове денных в таламус черепа головной м ных срезах провод

- Список литературы
1. Арушанян Э. Б., Отеллин В. А. Хвостатое ядро.—Л.: Наука, 1976.—223 с.
 2. Березовский В. К., Черкес В. А., Олешко Н. Н., Майский В. А. Афферентные связи хвостатого ядра кошки, исследованные с помощью метода ретроградного аксонного транспорта.—Нейрофизиология, 1980, **12**, № 2, с. 146—154.
 3. Литвинова А. Н., Луханина Е. П. Реакции нейронов хвостатого ядра на предъявление звуковых щелчков у кошки в хроническом эксперименте.—Там же, № 1, с. 28—35.
 4. Луханина Е. П., Литвинова А. Н., Пильтый Л. Г. Ответы нейронов хвостатого ядра кошки на звуковые раздражители.—Там же, № 6, с. 588—595.
 5. Отеллин В. А. Проекции коры на неостриatum.—Архив анатомии, гистологии и эмбриологии, 1971, **61**, № 1, с. 81—88.
 6. Толкунов Б. Ф. Стриатум и сенсорная специализация нейронной сети.—Л.: Наука, 1978.—176 с.
 7. Graybiel A. The thalamo-cortical projection of the posterior nuclear group in the cat.—Brain Res., 1973, **9**, N 2, p. 229—244.
 8. Heath C. Distribution of axonal degeneration following lesions of the posterior group of thalamic nuclei in the cat.—Ibid, 1970, **21**, N 3, p. 435—438.
 9. Ines E., Leavitt R. Retrograde axonal transport and the demonstration of non-specific projections to the cerebral cortex and striatum from thalamic intralaminar nuclei in the rat, cat, and monkey.—J. Comp. Neurol., 1974, **154**, N 4, p. 349—377.
 10. Kemp J., Powell T. The connections of the striatum and globus pallidus.—Phil. Trans. Roy. Soc., B., 1971, **262**, N 845, p. 441—457.
 11. Liles S. Single-unit responses of caudate neurons to stimulation of frontal cortex, substantia nigra and entopeduncular nucleus in cats.—J. Neurophysiol., 1974, **37**, N 1, p. 254—265.
 12. Masterton B., Diamond J. Hearing. Central neural mechanisms. — In: Handbook of perception. New York, 1973, 3, p. 408—449.
 13. Pasik P., Pasik T., Ditioglia M. The internal organization of the neostriatum in mammals.—In: The Neostriatum. Oxford : Pergamon Press, 1979.—325 p.
 14. Purpura D., Malliani A. Intracellular studies of the corpus striatum.—Brain Res., 1967, **6**, N 2, p. 325—340.
 15. Webster K. The cortico-striatal projection in the cat.—J. Anat., 1965, **99**, N 2, p. 329—337.

Отдел физиологии подкорковых структур
Института физиологии АН УССР, Киев

Поступила в редакцию
21.05.82